

SARS-CoV-2 (COVID-19) в числах

Yinon M. Bar-On¹, Avi Flamholz², Rob Phillips^{3,4}, and Ron Milo^{1*}

¹Weizmann Institute of Science, Rehovot 7610001, Israel ²University of California, Berkeley, CA 94720, USA

³California Institute of Technology, Pasadena, CA 91125, USA ⁴Chan Zuckerberg Biohub, San Francisco, CA 94158, USA

*автор для корреспонденции: ron.milo@weizmann.ac.il.

комментарии приветствуются; эта статья постоянно обновляется по ссылке: <https://bit.ly/2WOeN64>



published in eLife, March 31st, 2020

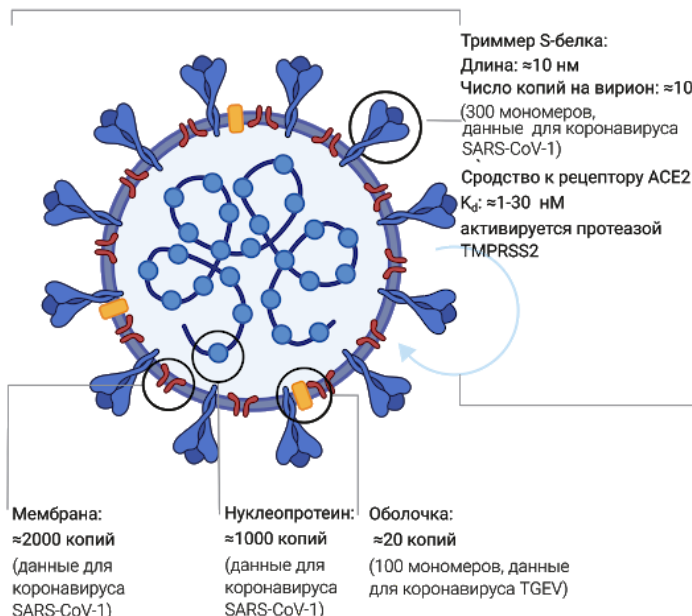
<https://elifesciences.org/articles/57309>

Характеристика вириона

Диаметр: ≈100 нм

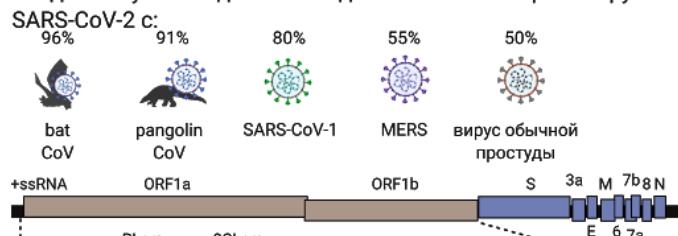
Объем: $\sim 10^6 \text{ нм}^3 = 10^{-3} \text{ фл}$

Масса: $\sim 10^3 \text{ мДа} \approx 1\text{фг}$



Геном

Сходство нуклеотидной последовательности коронавируса SARS-CoV-2 с:



бета-коронавирус содержит 10-14 генов (24-27 белков)

Скорость эволюции: $\sim 10^{-3} \text{ нк}^{-1} \text{ год}^{-1}$ (данные для SARS-CoV-1)

Скорость накопления мутаций: $\sim 10^{-6} \text{ нк}^{-1} \text{ цикл}^{-1}$ (данные для коронавируса MHV)

Жизненный цикл вириуса

В клеточной культуре

Скорость проникновения вирусной частицы в клетку: $\sim 10 \text{ мин}$ (данные для коронавируса SARS-CoV-1)

Эклипс-период: $\sim 10 \text{ часов}$

(Время, необходимое для формирования вирионов внутри клетки)

Выход вириуса: ~ 1000 вирусных частиц (данные для коронавируса MHV)

Клетки-хозяева

(предварительный список; количество клеток в организме одного человека)

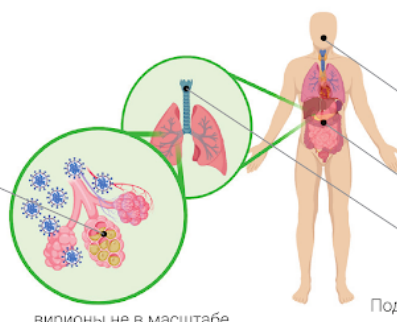
Альвеолоциты 1 и 2 типа ($\sim 10^{11}$ клеток)

Альвеолярные макрофаги ($\sim 10^{10}$ клеток)

Клетки слизистой оболочки полости носа ($\sim 10^9$ клеток)

Общий объем клеток-хозяев:

$\sim 10^3 \text{ мкм}^3 = 10^3 \text{ фл}$



Концентрация

Максимальные наблюдаемые значения количества вириуса после постановки диагноза (Woelfel et al. 2020; Kim et al. 2020; Pan et al. 2020)

Носоглотка: $10^6\text{-}10^9$ молекул РНК/мазок

Горло: $10^4\text{-}10^8$ молекул РНК/мазок

Проба кала: $10^4\text{-}10^8$ молекул РНК/г

Мокрота: $10^6\text{-}10^{11}$ молекул РНК/мл

Подсчет молекул РНК вириуса в биоматериале может завышать истинное количество вирусных частиц, способных к инфекции

Иммунный ответ - Сероконверсия

Антитела появляются в крови спустя: $\approx 10\text{-}20$ дней

Гуморальный иммунитет сохраняется: $\approx 2\text{-}3$ года (данные для коронавируса SARS-CoV-1)

Стабильность вирусных частиц в окружающей среде

Значимость для личной безопасности не установлена

Период полураспада Период сокращения количества вирусных частиц в 1000 раз

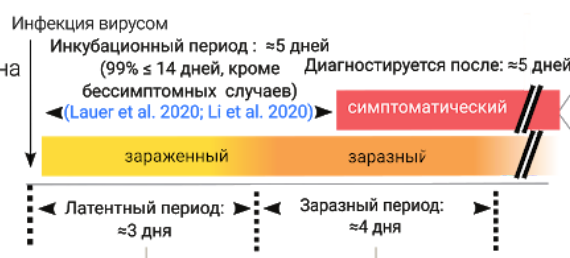
Аэрозоли: ≈ 1 $\approx 4\text{-}24$ ч
Поверхности: $\approx 1\text{-}7$ ч $\approx 4\text{-}96$ ч
Например, (van Doremalen et al. 2020)
пластик,
картон и металлы

На основании подсчета инфицирующих вирусных частиц. Протестировано при температуре 21-23°C и относительной влажности воздуха 40-65%. Результаты подсчетов будут варьировать в зависимости от условий и типа поверхности (Otter et al. 2016). Молекулы РНК вириуса были выявлены даже спустя несколько недель (Morlarty et al. 2020).

Обратите внимание на разницу в обозначениях между символом \approx , который означает «приблизительно» с точностью в пределах двукратной величины, и символом \sim , который указывает на «порядок величины» с точностью в пределах одного порядка.

Характерная клиническая картина

Базовое репродуктивное число, R_0 : обычно 2-4, но может варьироваться в пространстве и времени (среднее количество лиц, напрямую инфицированных больным в течение всего заразного периода) (Li et al. 2020; Park et al. 2020)



коэффициент летальности $\approx 0.8\%\text{-}10\%$ (ECDC 2020)
(не окончательные данные)
коэффициент смертности от инфекции $\approx 0.3\%\text{-}1.3\%$

Восстановление:
Легкие случаи: ≈ 2 недель
Тяжелые случаи: ≈ 6 недель

Вариабельность между пациентами существенна и недостаточно описана. Оценки сделаны с использованием параметров, усредненных по данным, полученным для населения Китая, и не учитывают эту вариабельность (Li et al. 2020; He et al. 2020).

Translation by Anna Lopatina

Size & Content

Diameter: ≈100 nm
Volume: $\sim 10^6 \text{ nm}^3 = 10^{-3} \text{ fL}$
Mass: $\sim 10^3 \text{ MDa} \approx 1\text{fg}$
Membrane: ≈2000 copies (measured for SARS-CoV-1)
Envelope: ≈20 copies (100 monomers, measured for TGEV coronavirus)
Nucleoprotein: ≈1000 copies (measured for SARS-CoV-1)
Spike trimer:
 Length: ≈10 nm
 Copies per virion: ≈100 (measured for SARS-CoV-1) (300 monomers)
 Affinity to ACE2 receptor K_d : ≈1-30 nM
 primed by TMPRSS2

Характеристика вириона

Диаметр: ≈ 100 нм
Объем: $\sim 10^6 \text{ нм}^3 = 10^{-3} \text{ фL}$
Масса: $\sim 10^3 \text{ мДа} \approx 1\text{фг}$
Мембрана: ≈2000 копий (данные для коронавируса SARS-CoV-1)
Оболочка: ≈20 копий (100 мономеров, данные для коронавируса TGEV)
Нуклеопротеин: ≈1000 копий (данные для коронавируса SARS-CoV-1)
Приммер S-белка:
 Длина: ≈10 нм
 Число копий на вирион: ≈100 (данные для коронавируса SARS-CoV-1) (300 мономеров)
 Сродство к рецептору ACE2 K_d : ≈1-30 нМ
активируется протеазой TMPRSS2

Genome

Genome length: ≈30kb
Number of genes: 10-14
Number of proteins: 24-27
Evolution rate: $\sim 10^{-3} \text{ nt}^{-1} \text{ yr}^{-1}$ (measured for SARS-CoV-1)
Mutation rate: $\sim 10^{-6} \text{ nt}^{-1} \text{ cycle}^{-1}$ (measured for MHV coronavirus)
Nucleotide identity to SARS-CoV-2: bat CoV - 96%; pangolin CoV 91%; SARS-CoV-1 80%; MERS 55%; common cold CoV 50%

Геном

Длина генома: ≈30 кб
Количество генов: 10-14
Количество белков: 24-27
Скорость эволюции: $\sim 10^{-3} \text{ нк}^{-1} \text{ год}^{-1}$ (данные для SARS-CoV-1)
Скорость накопления мутаций: $\sim 10^{-6} \text{ нк}^{-1} \text{ цикл}^{-1}$ (данные для коронавируса MHV)
Ходство нуклеотидной последовательности коронавируса SARS-CoV-2 с: вирусом bat CoV - 96%; вирусом pangolin CoV 91%; вирусом SARS-CoV-1 80%; вирусом MERS 55%; с вирусом обычной простуды CoV 50%

Replication Timescales

In tissue-culture
Virion entry into cell: ≈10 min (measured for SARS-CoV-1)
Eclipse period: ≈10 hours
Burst size: ≈1000 virions (measured for MHV coronavirus)

Жизненный цикл вируса

В клеточной культуре
Скорость проникновения вирусной частицы в клетку: ≈10 мин (данные для коронавируса SARS-CoV-1)
Эклипс-период: ≈10 часов
Выход вируса: ≈1000 вирусных частиц (данные для коронавируса MHV)

Host Cells

(tentative list; number of cells per person)
Type I and Type II pneumocyte: $\sim 10^{11}$ cells
Alveolar macrophage: $\sim 10^{10}$ cells
Mucous cells in nasal cavity: $\sim 10^9$ cells
Host cell volume: $\sim 10^3 \mu\text{m}^3 = 10^3 \text{ fL}$

Клетки-хозяева

(предварительный список; количество клеток в организме одного человека)
Альвеолоциты I и II типа: $\sim 10^{11}$ клеток
Альвеолярные макрофаги: $\sim 10^{10}$ клеток
Клетки слизистой оболочки полости носа: $\sim 10^9$ клеток
Общий объем клеток-хозяев: $\sim 10^3 \text{ мкм}^3 = 10^3 \text{ фL}$

Concentration

maximal observed values following diagnosis
Nasopharynx: $10^6\text{-}10^9$ RNAs/swab
Throat: $10^4\text{-}10^8$ RNAs/swab
Stool: $10^4\text{-}10^8$ RNAs/g
Sputum: $10^6\text{-}10^{11}$ RNAs/mL
RNA counts can markedly overestimate infectious virions

Концентрация

Максимальные наблюдаемые значения количества вируса после постановки диагноза
Носоглотка: $10^6\text{-}10^9$ молекул РНК/мазок
Гортань: $10^4\text{-}10^8$ молекул РНК/мазок
Проба кала: $10^4\text{-}10^8$ молекул РНК/г
Мокрота: $10^6\text{-}10^{11}$ молекул РНК/мл
Подсчет молекул РНК вируса в биоматериале может завышать истинное количество вирусных частиц, способных к инфекции

Antibody Response - Seroconversion

Antibodies appear in blood after: ≈10-20 days

Maintenance of antibody response: ≈2-3 years (measured for SARS-CoV-1)

Иммунный ответ - Сероконверсия

Антитела появляются в крови спустя: ≈10-20 дней

Гуморальный иммунитет сохраняется: ≈2-3 года (данные для коронавируса SARS-CoV-1)

Virus Environmental Stability

Relevance to personal safety unclear

half-life time to decay 1000-fold

Aerosols: ≈1 hr ≈4-24 hr

Surfaces: ≈1-7 hr ≈4-96 hr

E.g. plastic,
cardboard
And metals

Based on quantifying infectious virions. Tested at 21-23°C

and 40-65% relative humidity. Numbers will vary between conditions and surface types (ref).

Viral RNA observed on surfaces even after a few weeks (ref)

Стабильность вирусных частиц в окружающей среде

Значимость для личной безопасности не установлена

Период полураспада Период сокращения количества вирусных частиц в 1000 раз

Aerosols: ≈1 ч ≈4-24 ч

Surfaces: ≈1-7 ч ≈4-96 ч

Например, пластик,
картон
и металлы

На основании подсчета инфицирующих вирусных частиц. Протестировано при температуре 21-23°C

и относительной влажности воздуха 40-65%. Результаты подсчетов будут варьировать в зависимости от условий и типа поверхности ()

Молекулы РНК вируса были выявлены даже спустя несколько недель ()

"Characteristic" Infection Progression in a Single Patient

Basic reproductive number, R₀: typically 2-4, but varies further across space and time

(number of new cases directly generated from a single case)

Incubation period (median): ≈5 days (99% ≤ 14 days unless asymptomatic)

Diagnosis after ≈5 days

Latent period: ≈3 days

Infectious period: ≈4 days

Recovery: mild cases: ≈2 weeks

severe cases: ≈6 weeks

Case Fatality Rate: ≈0.8%-10% (uncorrected)

Infected Fatality Rate: ≈0.3%-1.3%

Inter-individual variability is substantial and not well characterized. The estimates are parameter fits for population median in China and do not describe this variability (ref, ref).

Note the difference in notation between the symbol ≈, which indicates "approximately" and connotes accuracy to within a factor of 2, and the symbol ~, which indicates "order of magnitude" or accuracy to within a factor of 10.

Характерная клиническая картина

Базовое воспроизводственное число, R₀: обычно 2-4, но может варьироваться в пространстве и времени (среднее количество лиц, напрямую инфицированных больным в течение всего заразного периода)

Инкубационный период (средний): ≈5 дней (99% ≤ 14 дней, кроме бессимптомных случаев)

Диагностируется после: ≈5 дней

Латентный период: ≈3 дня

Заразный период: ≈4 дня

Восстановление: Легкие случаи: ≈2 недели

Тяжелые случаи: ≈6 недели

Коэффициент летальности: ≈0.8%-10% (не окончательные данные)

Коэффициент смертности от инфекции: ≈0.3%-1.3%

Вариабельность между пациентами существенна и недостаточно описана. Оценки сделаны с использованием параметров, усредненных по данным, полученным для населения Китая, и не учитывают эту вариабельность (ref, ref).

Обратите внимание на разницу в обозначениях между символом ≈, который означает «приблизительно» с точностью в пределах двукратной величины, и символом ~, который указывает на «порядок величины» с точностью в пределах одного порядка.

SARS-CoV-2 (COVID-19) в числах

Yinon M. Bar-On¹, Avi Flamholz², Rob Phillips^{3,4}, and Ron Milo¹

¹Weizmann Institute of Science, Rehovot 7610001, Israel

²University of California, Berkeley, CA 94720, USA

³California Institute of Technology, Pasadena, CA 91125, USA

⁴Chan Zuckerberg Biohub, 499 Illinois Street, SF CA 94158, USA

Abstract

The current SARS-CoV-2 pandemic is a harsh reminder of the fact that, whether in a single human host or a wave of infection across continents, viral dynamics is often a story about the numbers. In this snapshot, our aim is to provide a one-stop, curated graphical source for the key numbers that help us understand the virus driving our current global crisis. The discussion is framed around two broad themes: 1) the biology of the virus itself and 2) the characteristics of the infection of a single human host. Our one-page summary provides the key numbers pertaining to SARS-CoV-2, based mostly on peer-reviewed literature. The numbers reported in summary format are substantiated by the annotated references below. Readers are urged to remember that much uncertainty remains and knowledge of this pandemic and the virus driving it is rapidly evolving. In the paragraphs below we provide "back of the envelope" calculations that exemplify the insights that can be gained from knowing some key numbers and using quantitative logic. These calculations serve to improve our intuition through sanity checks, but do not replace detailed epidemiological analysis.

Резюме

Нынешняя пандемия SARS-CoV-2 наглядно показала, что вне зависимости от того, идет ли речь о единичном заражении или об эпидемии, охватившей целые континенты, описание динамики вирусной инфекции базируется на цифрах. Поэтому наша задача - создать единый обновляемый графический источник ключевых данных, который поможет нам лучше понять вирус, вызвавший сегодняшний глобальный кризис. Описание строится вокруг двух основных тем: 1) биология самого вируса 2) характеристики протекания инфекции при заражении человека. При описании ключевых свойств вируса SARS-CoV-2 мы старались ссылаться главным образом на публикации в рецензируемых журналах. Все данные, представленные в кратком описании, снабжены приведенными ниже ссылками на источники. Читателям также стоит помнить о том, что в обсуждаемой теме еще присутствует много неопределенности, и что новая информация об эпидемии и о вызвавшем ее вирусе быстро накапливается и обновляется. В последующих разделах мы показываем, как грубые расчеты, с использованием лишь некоторых ключевых характеристик вируса и количественной логики, помогают лучше оценить текущую ситуацию. Эти расчеты детализируют наши прогнозы относительно эпидемии, и верны с точки зрения здравого смысла, но не служат заменой подробного эпидемиологического анализа.

1. How long does it take a single infected person to yield one million infected people?

If everybody continued to behave as usual, how long would it take the pandemic to spread from one person to a million infected victims? The basic reproduction number, R_0 , suggests each infection directly generates 2-4 more infections in the absence of countermeasures like social distancing. Once a person is infected, it takes a period of time known as the latent period before they are able to transmit the virus. The current best-estimate of the median latent time is ≈ 3 days followed by ≈ 4 days of close to maximal infectiousness (Li et al. 2020, He et al. 2020). The exact durations vary among people, and some are infectious for much longer. Using $R_0 \approx 4$, the number of cases will quadruple every ≈ 7 days or double every ≈ 3 days. A 1000-fold growth (going from one case to 10^3) requires 10 doublings since $2^{10} \approx 10^3$; 3 days \times 10 doublings = 30 days, or about one month. So we expect $\approx 1000x$ growth in one month, million-fold (10^6) in two months, and a billion fold (10^9) in three months. Even though this calculation is highly simplified, ignoring the effects of "super-spreaders", herd-immunity and incomplete testing, it emphasizes the fact that viruses can spread at a bewildering pace when no countermeasures are taken. This illustrates why it is crucial to limit the spread of the virus by social distancing measures. For fuller discussion of the meaning of R_0 , the latent and infectious periods, as well as various caveats, see the "Definitions" section.

1. Сколько времени понадобится одному зараженному человеку, чтобы заразить миллион людей?

Если бы все продолжали вести себя как обычно, как долго пришлось бы ждать пандемии, когда от одного инфицированного человека заразились бы миллионы людей? Базовое репродуктивное число, R_0 , указывает на то, что при отсутствии специальных мер, таких как социальная дистанция, один инфицированный заражает 2-4 человека. С момента заражения до момента, когда человек может заражать других людей, проходит время, которое называется латентный период. На данный момент средняя продолжительность латентного периода оценивается как ≈ 3 дня, за латентным периодом сразу следует наиболее заразный период длиной ≈ 4 дня (Li et al. 2020, He et al. 2020). Точная продолжительность данного периода варьирует от человека к человеку, и в некоторых случаях длится гораздо дольше. Используя значение $R_0=4$ можно рассчитать, что число случаев будет увеличиваться в четыре раза каждые ≈ 7 дней, или удваиваться каждые ≈ 3 дня. 1000-кратный рост (то есть двигаясь от одного случая к 10^3) требует 10 удвоений, так как $2^{10} \approx 10^3$; 3 дня \times 10 удвоений = 30 дней, или один месяц. Таким образом, мы ожидаем ≈ 1000 -кратный рост в течение одного месяца и рост в миллион раз (10^6) через два месяца, и в миллиард раз (10^9) через три месяца. Даже если учесть, что эти расчеты сильно упрощены, и не принимают во внимание эффекты "супер-распространителей", коллективный иммунитет и недостаточно быстрые темпы тестирования, они ясно показывают, как быстро может распространяться вирусная инфекция при отсутствии контрмер. И почему крайне важно ограничить распространение вируса с помощью мер социальной дистанции. Для более подробного ознакомления с информацией о значениях R_0 , латентном и инфекционном периодах, и для ознакомления с рядом предостережений, см. раздел «Подробнее об определениях и методах измерения».

2. What is the effect of social distancing?

A highly simplified quantitative example helps clarify the need for social distancing. Suppose that you are infected and you encounter 50 people over the course of a day of working, commuting, socializing and running errands. To make the numbers round, let's further suppose that you have a 2% chance of transmitting the virus in each of these encounters, so that you are likely to infect 1 new person each day. If you are infectious for 4 days, then you will infect 4 others on average, which is on the high end of the R_0 values for SARS-CoV-2 in the absence of social distancing. If you instead see 5 people each day (preferably fewer) because of social distancing, then you will infect 0.1 people per day, or 0.4 people before you become less infectious. The desired effect of social distancing is to make each current infection produce < 1 new infections. An effective reproduction number (R_e) smaller than 1 will ensure the number of infections eventually dwindle. It is critically important to quickly achieve $R_e < 1$, which is substantially more achievable than pushing R_0 to near zero through public health measures.

2. Каков эффект социального дистанцирования?

Простой количественный пример поможет объяснить необходимость социальной дистанции. Предположим, что вы заражены, и за день работы, общения и выполнения поручений вы встретите 50 человек. Чтобы округлить числа, давайте предположим, что у вас есть 2% шанс на передачу вируса при каждой из этих встреч, так что вы, вероятно, заразите 1 нового человека в день. Если вы заразны в течение 4 дней, то вы заразите в среднем еще 4 человека, что является верхним пределом значений R_0 для SARS-CoV-2 в отсутствие социальной дистанции. Если вместо этого благодаря социальной дистанции вы повстречаете 5 человек в день (лучше меньше), то заразите 0,1 человека в день или 0,4 человека, прежде чем стать менее заразным. Желаемый эффект социальной дистанции - заставить каждый текущий источник инфекции вызывать < 1 новых инфекций. Эффективное число размножения (R_e) ниже 1 обеспечит сокращение числа инфицированных. Чрезвычайно важно быстро достичь $R_e < 1$, и это является гораздо более легкой задачей по сравнению с доведением R_e до близкой к нулю с помощью мер общественного здравоохранения.

3. Why is the quarantine period two weeks?

The period of time from infection to symptoms is termed the incubation period. The median SARS-CoV-2 incubation period is estimated to be roughly 5 days (Lauer et al. 2020). Yet there is much person-to-person variation. Approximately 99% of those showing symptoms will show them before day 14, which explains the two week confinement period. Importantly, this analysis neglects infected people who never show symptoms. Since asymptomatic people are not usually tested, it is still not clear how many such cases there are or how long asymptomatic people remain infectious for.

3. Почему срок карантина составляет две недели?

Отрезок времени от момента заражения до появления симптомов называется инкубационным периодом. Средний инкубационный период SARS-CoV-2 составляет примерно 5 дней (Lauer et al. 2020). Тем не менее, его длительность может варьироваться от человека к человеку. Примерно 99% из тех, у кого проявляются симптомы, показывают их до 14 дней, что объясняет двухнедельный период изоляции. Важно отметить, что в этом анализе не учитываются инфицированные люди, у которых симптомы не проявляются.

Поскольку бессимптомных людей обычно не тестируют, все еще неясно, сколько существует таких случаев или как долго бессимптомные люди остаются заразными.

4. How do N95 masks block SARS-CoV-2?

N95 masks are designed to remove more than 95% of all particles that are at least 0.3 microns (μm) in diameter ([NIOSH 42 CFR Part 84](#)). In fact, measurements of the particle filtration efficiency of N95 masks show that they are capable of filtering $\approx 99.8\%$ of particles with a diameter of $\sim 0.1 \mu\text{m}$ ([Regnasamy et al. 2017](#)). SARS-CoV-2 is an enveloped virus $\sim 0.1 \mu\text{m}$ in diameter, so N95 masks are capable of filtering most free virions, but they do more than that. How so? Viruses are often transmitted through respiratory droplets produced by coughing and sneezing. Respiratory droplets are usually divided into two size bins, large droplets ($> 5 \mu\text{m}$ in diameter) that fall rapidly to the ground and are thus transmitted only over short distances, and small droplets ($\leq 5 \mu\text{m}$ in diameter). Small droplets can evaporate into "droplet nuclei," remain suspended in air for significant periods of time and could be inhaled. Some viruses, such as measles, can be transmitted by droplet nuclei ([Tellier et al. 2019](#)). At present there is no direct evidence showing SARS-CoV-2 transmission by droplet nuclei. Rather, larger droplets are believed to be the main vector of SARS-CoV-2 transmission, usually by settling onto surfaces that are touched and transported by hands onto mucosal membranes such as the eyes, nose and mouth ([CDC 2020](#)). The characteristic diameter of large droplets produced by sneezing is $\sim 100 \mu\text{m}$ ([Han J. R. Soc. Interface 2013](#)), while the diameter of droplet nuclei produced by coughing is on the order of $\sim 1 \mu\text{m}$ ([Yang et al 2007](#)). Therefore, N95 masks likely protect against several modes of viral transmission.

4. Как маски N95 задерживают SARS-CoV-2?

Маски N95 предназначены для задерживания более 95% различных частиц диаметром $> 0.3 \mu\text{m}$ ([NIOSH 42 CFR Part 84](#)). На самом деле измерения эффективности фильтрации частиц у масок N95 показывают, что они способны задерживать $\approx 99.8\%$ частиц диаметром $\sim 0.1 \mu\text{m}$ ([Regnasamy et al. 2017](#)). SARS-CoV-2 представляет собой вирус с оболочкой диаметром $\sim 0.1 \mu\text{m}$, поэтому маски N95 способны фильтровать большинство свободных вирусных частиц, но они способны на большее. Как так? Вирусы часто передаются через мелкие капли, выделяемые из дыхательных путей при кашле и чихании. Эти капли делятся по размеру на: крупные капли ($> 5 \mu\text{m}$ в диаметре), которые быстро падают на землю и, таким образом, могут передаваться только на короткие расстояния, и мелкие капли ($\leq 5 \mu\text{m}$ в диаметре). Мелкие капли могут испаряться в «капельные ядра», оставаться во взвешенном состоянии в течение длительного времени и впоследствии вдыхаться. Некоторые вирусы, такие как корь, могут передаваться с помощью капельных ядер ([Tellier et al. 2019](#)). В настоящее время нет прямых доказательств, показывающих передачу SARS-CoV-2 с помощью капельных ядер. Предполагается, что основным способом передачи SARS-CoV-2 являются большие капли, которые оседая на поверхностях, переносятся руками на слизистые оболочки глаз, носа и рта при касании. ([CDC 2020](#)). Типичный диаметр крупных капель, образующихся при чихании, составляет $\sim 100 \mu\text{m}$ ([Han J. R. Soc. Interface 2013](#)), в то время как диаметр капельных ядер, образующихся при кашле, составляет порядка $\sim 1 \mu\text{m}$ ([Yang et al 2007](#)). Исходя из этих данных маски N95 с большой вероятностью смогут защитить от вирусной инфекции передаваемой несколькими способами.

5. How similar is SARS-CoV-2 to the common cold and flu viruses?

SARS-CoV-2 is a beta-coronavirus whose genome is a single $\approx 30 \text{ kb}$ strand of RNA. The flu is caused by an entirely different family of RNA viruses called influenza viruses. Flu viruses have smaller genomes ($\approx 14 \text{ kb}$) encoded in 8 distinct strands of RNA, and they infect human cells in a different manner than coronaviruses. The "common cold" is caused by a variety of viruses, including some coronaviruses and rhinoviruses. Cold-causing coronaviruses (e.g. OC43 and 229E strains) are quite similar to SARS-CoV-2 in genome length (within 10%) and gene content, but different from SARS-CoV-2 in sequence ($\approx 50\%$ nucleotide identity) and infection severity. One interesting facet of coronaviruses is that they have the largest genomes of any known RNA viruses ($\approx 30 \text{ kb}$). These large genomes led researchers to suspect the presence of a "proofreading mechanism" to reduce the mutation rate and stabilize the genome. Indeed, coronaviruses have a proofreading exonuclease called ExoN, which explains their very low mutation rates ($\sim 10^{-6}$ per site per cycle) in comparison to influenza ($\approx 3 \times 10^{-5}$ per site per cycle ([Sanjuan et al. 2010](#))). This relatively low mutation rate will be of interest for future studies predicting the speed with which coronaviruses can evade our immunization efforts.

5. Насколько SARS-CoV-2 похож на вирусы простуды и гриппа?

SARS-CoV-2 - это бета-коронавирус, геном которого составляет одна нить РНК длиной $\approx 30 \text{ т.п.н.}$. Грипп же вызывается совершенно другим семейством РНК-вирусов, называемых вирусами гриппа. Вирусы гриппа, у которых геном меньше ($\approx 14 \text{ т.п.н.}$) и представлен 8 различными фрагментами РНК, инфицируют клетки человека не так, как коронавирусы. «Простуда» может вызываться разными вирусами, включая некоторые коронавирусы и риновирусы. Вызывающие простуду коронавирусы (например, штаммы OC43 и 229E) очень похожи на SARS-CoV-2 по длине генома (в пределах 10%) и содержанию генов, но отличаются от SARS-CoV-2 своей РНК последовательностью ($\approx 50\%$ идентичности нуклеотидной последовательности) и тяжестью инфекции. Одним интересным аспектом коронавирусов является то, что их геномы самые большие среди всех

известных РНК-вирусов ($\approx 30 \text{ кб}$). Эти большие геномы заставили исследователей заподозрить наличие «корректирующего механизма», который бы позволил снизить частоту мутаций и стабилизировать геном. Действительно, у коронавирусов есть корректирующая экзонуклеаза под названием ExoN, что объясняет их очень низкие частоты мутаций ($\sim 10^{-6}$ на сайт на цикл) по сравнению с вирусом гриппа ($\approx 3 \times 10^{-5}$ на сайт на цикл ([Sanjuan et al. 2010](#))). Эта относительно низкая частота мутаций будет интересна для будущих исследований, предсказывающих скорость, с которой коронавирусы могут уклоняться от наших усилий по иммунизации.

6. How much is known about the SARS-CoV-2 genome and proteome?

SARS-CoV-2 has a single-stranded positive-sense RNA genome that codes for 10 genes ultimately producing 26 proteins according to an NCBI annotation ([NC_045512](#)). How is it that 10 genes code for > 20 proteins? One long gene, *orf1ab*, encodes a polyprotein that is cleaved into 16 proteins by proteases that are themselves part of the polyprotein. In addition to proteases, the polyprotein encodes an RNA polymerase and associated factors to copy the genome, a proofreading exonuclease, and several other non-structural proteins. The remaining genes predominantly code for structural components of the virus: (i) the spike protein which binds the cognate receptor on a human or animal cell; (ii) a nucleoprotein that packages the genome; and (iii) two membrane-bound proteins. Though much current work is centered on understanding the role of "accessory" proteins in the viral life cycle, we estimate that it is currently possible to ascribe clear biochemical or structural functions to only about half of SARS-CoV-2 gene products.

6. Что известно о геноме и протеоме SARS-CoV-2?

SARS-CoV-2 - это (+)РНК содержащий вирус, его геном содержит 10 генов, которые в конечном итоге производят 26 белков, согласно аннотации NCBI (NC_045512). Как получается, что 10 генов кодируют более 20 белков? Один длинный ген *orf1ab* кодирует полипептид, который расщепляется на 16 белков протеазами, которые сами являются частью полипептида. Кроме протеаз этот полипептид кодирует вирусную РНК-полимеразу и связанные с ней факторы для копирования генома, экзонуклеазу с корректирующей активностью и некоторые другие неструктурные белки. Остальные гены преимущественно кодируют структурные компоненты вируса: (i) С-белок, который отвечает за связывание с рецепторами на поверхности клеток животных и человека; (ii) белок, который участвует в упаковке генома; и (iii) два белка, входящих в состав мембраны. И хотя большая часть текущих исследований сосредоточены на описании роли "вспомогательных" белков в жизненном цикле вируса, мы предполагаем, что четкие биохимические и структурные измерения получены лишь для половины продуктов генов SARS-CoV-2.

7. What can we learn from the mutation rate of the virus?

Studying viral evolution, researchers commonly use two measures describing the rate of genomic change. The first is the evolutionary rate, which is defined as the average number of substitutions that become fixed per year in strains of the virus, given in units of mutations per site per year. The second is the mutation rate, which is the number of substitutions per site per replication cycle. How can we relate these two values? Consider a single site at the end of a year. The only measurement of a mutation rate in a β -coronavirus suggests that this site will accumulate $\sim 10^{-6}$ mutations in each round of replication. Each round of replication cycle takes ~ 10 hours, and so there are 10^3 cycles/year. Multiplying the mutation rate by the number of replications, and neglecting the potential effects of evolutionary selection and drift, we arrive at 10^{-3} mutations per site per year, consistent with the evolutionary rate inferred from sequenced coronavirus genomes. As our estimate is consistent with the measured rate, we infer that the virus undergoes near-continuous replication in the wild, constantly generating new mutations that accumulate over the course of the year. Using our knowledge of the mutation rate, we can also draw inferences about single infections. For example, since the mutation rate is $\sim 10^{-6}$ mutations/site/cycle and an mL of sputum might contain upwards of 10^7 viral RNAs, we infer that every site is mutated more than once in such samples.

7. Что мы можем узнать из частоты мутаций вируса?

Изучая эволюцию вируса, исследователи обычно используют два критерия, описывающие скорость изменения генома. Первый - это скорость эволюции, которая определяется как среднее количество замен на один сайт, которое постоянно в течение года у штамма вируса и измеряется в единицах мутаций на сайт за год. Второе - это частота мутаций, которая представляет собой количество замен на сайт за один раунд репликации. Как мы можем связать эти два значения? Рассмотрим один сайт в конце года. Измерение частоты мутаций в бета-коронавирусе предполагает, что в этом сайте будет накапливаться $\sim 10^{-6}$ мутаций за каждый цикл репликации. Один цикл репликации занимает ~ 10 часов, а всего у вируса 10^3 цикла репликации в год. Умножив частоту мутаций на количество репликаций, если пренебречь потенциальным эффектом эволюционного отбора и дрейфа, мы получаем 10^{-3} мутации на сайт в год, что соответствует скорости эволюции, полученной из отсеквенированных геномов коронавируса. Поскольку наша оценка соответствует измеренной скорости, мы делаем вывод, что вирус подвергается почти непрерывной репликации в дикой природе, постоянно генерируя новые мутации, которые накапливаются в течение года. Используя наши знания о частоте мутаций, мы также можем сделать выводы об одиночных заражениях. Например, поскольку частота мутаций составляет $\sim 10^{-6}$ мутаций / сайт / цикл, а один миллилитр мокроты может содержать

свыше 10^7 вирусных РНК, то мы можем сделать вывод, что в таких образцах каждый сайт мутировал более одного раза.

8. How stable and infectious is the virion on surfaces?

SARS-CoV-2 RNA has been detected on various surfaces several weeks after they were last touched (Moriarty et al. 2020). In the definitions we clarify the difference between detecting viral RNA and active virus. The probability of human infection from such exposure is not yet characterized as experiments to make this determination are very challenging. Nevertheless, caution and protective measures must be taken. We estimate that during the infectious period an undiagnosed infectious person touches surfaces tens of times. These surfaces will subsequently be touched by hundreds of other people. From the basic reproduction number $R_0 \approx 2-4$ we can infer that not everyone touching those surfaces will be infected. More detailed bounds on the risk of infection from touching surfaces urgently awaits study.

8. Насколько устойчив и заразен вирион на поверхностях?

РНК вируса SARS-CoV-2 была обнаружена на различных поверхностях спустя несколько недель после последнего к нему прикосновения (Moriarty et al. 2020). В части Определения мы разъясняем разницу между обнаружением вирусной РНК и активным вирусом. Вероятность заражения человека от такого воздействия пока не охарактеризована, так как эксперименты по установлению этого факта являются очень сложными. Тем не менее, следует соблюдать осторожность и меры защиты. По нашим оценкам, в течение инфекционного периода недиагностированный инфицированный человек касается разных поверхностей десятки раз. До этих поверхностей впоследствии дотронутся сотни других людей. Из базового репродуктивного числа $R_0 \approx 2-4$ можно сделать вывод, что не все, кто касается этих поверхностей, будут заражены. Более детальная оценка риска заражения от прикосновения к поверхностям требует немедленного изучения.

Glossary

Clinical Measures

Incubation period: time between exposure and symptoms.

Seroconversion: time between exposure to virus and detectable antibody response.

Словарь

Клинические термины

Инкубационный период: время между заражением и симптомами.

Сероконверсия: время между заражением и обнаружением в организме антител.

Epidemiological Inferences

R_0 : the average number of cases directly generated by an individual infection.

Latent period: time between exposure and becoming infective.

Infectious period: time for which an individual is infective.

Interval of half-maximum infectiousness: the time interval during which the probability of viral transmission is higher than half of the peak infectiousness. This interval is similar to the infectious period, but applies also in cases where the probability of infection is not uniform in time.

Эпидемиологические термины

R_0 : среднее число случаев, вызванное одной инфекцией.

Латентный период: время между заражением и моментом, когда человек становится заразным.

Инфекционный период: время, в течение которого человек заразен.

Интервал половинной заразности: интервал времени, в течение которого вероятность передачи вируса выше чем половина пиковой заразности. Этот интервал аналогичен инфекционному периоду, но применяется также в тех случаях, когда вероятность заражения неодинакова во времени.

Viral Species

SARS-CoV-2: Severe acute respiratory syndrome coronavirus 2. A β -coronavirus causing the present COVID-19 outbreak.

SARS-CoV-1: β -coronavirus that caused the 2002 SARS outbreak in China.

MERS: a β -coronavirus that caused the Middle East Respiratory Syndrome outbreak beginning in Jordan in 2012.

MHV: Murine herpes virus, a model β -coronavirus on which much laboratory research has been conducted.

TGEV: Transmissible gastroenteritis virus, a model α -coronavirus which infects pigs.

229E and OC43: two strains of coronavirus (α - and β - respectively) that are cause a fraction of common colds.

Разновидности вирусов

SARS-CoV-2: бета-коронавирус, вызывающий настоящую вспышку COVID-19.

SARS-CoV-1: бета-коронавирус, вызвавший вспышку SARS в 2002 году в Китае.

MERS: бета-коронавирус, вызвавший вспышку респираторного синдрома на Ближнем Востоке, которая началась в Иордании в 2012 году.

MHV: вирус мышного герпеса, модельный бета-коронавирус, на котором было проведено много лабораторных исследований.

TGEV: трансмиссивный вирус гастроэнтерита, модельный альфа-коронавирус, который заражает свиней.

229E and OC43: два штамма коронавируса (альфа- и бета- соответственно), которые вызывают часть простудных заболеваний.

Viral Life-Cycle

Eclipse period: time between viral entry and appearance of intracellular virions.

Latent period (cellular level): time between viral entry and appearance of extracellular virions. Not to be confused with the epidemiological latent period described below.

Burst size: the number of virions produced from infection of a single cell. More appropriately called "per-cell viral yield" for non-lytic viruses like SARS-CoV-2.

Virion: a viral particle.

Polypeptide: a long protein that is proteolytically cleaved into a number of distinct proteins. Distinct from a polypeptide, which is a linear chain of amino acids making up a protein.

Жизненный цикл вируса

Эклипс-период: время между проникновением вируса и появлением внутриклеточных вирионов.

Латентный период (клеточный уровень): время между проникновением вируса и появлением внеклеточных вирионов. Не следует путать с эпидемиологическим латентным периодом, описанным ниже.

Выход вируса: количество вирионов, произведенное одной зараженной клеткой. Более целесообразно называть «урожай вируса на клетку» для нелитических вирусов, таких как SARS-CoV-2.

Вирион: вирусная частица.

Полипротеин: длинный белок, который протеолитически расщепляется на ряд отдельных белков. Отличается от полипептида, представляющего собой линейную цепочку аминокислот, составляющих белок.

Human Biology

Alveolar Macrophage: immune cells found in the lung that engulf foreign material like dust and microbes ("professional phagocytes")

Pneumocytes: the non-immune cells in the lung.

ACE2: Angiotensin-converting enzyme 2, the mammalian cell surface receptor that SARS-CoV-2 binds.

TMPRSS2: Transmembrane protease, serine 2, a mammalian membrane-bound serine protease that cleaves the viral spike trimer after it binds ACE2, revealing a fusion peptide that participates in membrane fusion which enables subsequent injection of viral DNA into the host cytoplasm.

Nasopharynx: the space above the soft palate at the back of the nose which connects the nose to the mouth.

Биология человека

Альвеолярные макрофаги: иммунные клетки лёгких, которые поглощают инородные вещества, такие как пыль и микробы («профессиональные фагоциты»).

Пневмоциты: неиммунные клетки лёгких.

ACE2: ангiotензинпревращающий фермент 2; рецептор на поверхности клеток млекопитающих, который связывает SARS-CoV-2.

TMPRSS2: трансмембранный протеаза, серин 2; сериновая протеаза связанная с мембранный клеток млекопитающих расщепляет триммер вирусного S-белка после его связывания с ACE2, высвобождая пептид слияния, который участвует в слиянии мембран, что делает возможным последующее вспрыскивание вирусной ДНК в цитоплазму хозяина.

Носоглотка: пространство над мягким нёбом в задней части носа, которое соединяет нос с ртом.

Notation

Note the difference in notation between the symbol \approx , which indicates "approximately" and connotes accuracy to within a factor 2, and the symbol \sim , which indicates "order of magnitude" or accuracy to within a factor of 10.

Примечание

Обратите внимание на разницу в обозначениях между символом \approx , который означает «приблизительно» с точностью в пределах двукратной величины, и символом \sim , который указывает на «порядок величины» с точностью в пределах одного порядка.

More on definitions and measurement methods

What are the meanings of R_0 , "latent period" and "infectious period"?

The basic reproduction number, R_0 , estimates the average number of new infections directly generated by a single infectious person. The 0 subscript connotes that this refers to early stages of an epidemic, when everyone in the region is susceptible (i.e. there is no immunity) and no counter-measures have been taken. As geography and culture affect how many people we encounter daily, how much we touch them and share food with them, estimates of R_0 can vary between locales. Moreover, because R_0 is defined in the absence of countermeasures and immunity, we are usually only able to assess the effective R (R_e). At the beginning of an epidemic, before any countermeasures, $R_e \approx R_0$. Several days pass before a newly-infected person becomes infectious themselves. This "latent period" is typically followed by several

days of infectivity called the “infectious period.” It is important to understand that reported values for all these parameters are population averages inferred from epidemiological models fit to counts of infected, symptomatic, and dying patients. Because testing is always incomplete and model fitting is imperfect, and data will vary between different locations, there is substantial uncertainty associated with reported values. Moreover, these median or average best-fit values do not describe person-to-person variation. For example, viral RNA was detectable in patients with moderate symptoms for > 1 week after the onset of symptoms, and more than 2 weeks in patients with severe symptoms ([ECDC 2020](#)). Though detectable RNA is not the same as active virus, this evidence calls for caution in using uncertain, average parameters to describe a pandemic. Why aren’t detailed distributions of these parameters across people published? Direct measurement of latent and infectious periods at the individual level is extremely challenging, as accurately identifying the precise time of infection is usually very difficult.

Подробнее об определениях и методах измерения

Что такое R_0 , «латентный период» и «инфекционный период»?

Базовое репродуктивное число, R_0 оценивает среднее число новых инфекций, непосредственно вызванных одним инфицированным человеком. Индекс 0 означает, что R_0 применим к ранним стадиям эпидемии, когда все люди в исследуемом регионе чувствительны к вирусу (то есть коллективный иммунитет не сформирован), и еще не приняты контрмеры. Поскольку география и культура конкретного района влияют на количество людей, с которыми мы сталкиваемся ежедневно: насколько близко мы контактируем с ними при встрече, как устроен совместный прием еды, – оценки R_0 могут варьироваться в зависимости от региона. Более того, поскольку R_0 определяется в отсутствие контрмер и иммунитета, мы обычно можем оценить только эффективный R_e . В начале эпидемии, до принятия каких-либо контрмер, $R_e \approx R_0$. Проходит несколько дней, прежде чем вновь зараженный человек становится заразным. За этим «латентным периодом» обычно следует несколько дней, когда человек может передавать вирус другим людям, этот период называется «инфекциональным периодом». Важно понимать, что сообщаемые значения для всех этих параметров представляют собой средние для популяции оценки, выведенные из эпидемиологических моделей, подходящих для подсчета инфицированных, симптоматических и умирающих пациентов. Поскольку тестирование всегда является неполным, подгонка модели несовершенна, а данные варьируют от региона к региону, сообщаемые значения могут быть неточными. Кроме того, эти расчетные значения не описывают индивидуальных вариаций. Например, вирусная РНК выявлялась у пациентов с умеренными симптомами в течение одной недели после появления симптомов, и более двух недель у пациентов с тяжелыми симптомами ([ECDC 2020](#)). Хотя количество определяемой РНК не соответствует количеству активных вирусов, эти данные указывают на то, что нужно с осторожностью использовать средние параметры для описания пандемии. Почему не опубликовано подробное распределение этих параметров с учетом индивидуальных вариаций? Прямое измерение латентного и инфекционного периодов каждого человека является чрезвычайно сложной задачей, так как обычно трудно безошибочно определить точное время заражения.

What is the difference between measurements of viral RNA and infectious viruses?

Diagnosis and quantification of viruses utilizes several different methodologies. One common approach is to quantify the amount of viral RNA in an environmental (e.g. surface) or clinical (e.g. sputum) sample via quantitative reverse-transcription polymerase chain reaction (RT-qPCR). This method measures the number of copies of viral RNA in a sample. The presence of viral RNA does not necessarily imply the presence of infectious virions. Virions could be defective (e.g. by mutation) or might have been deactivated by environmental conditions. To assess the concentration of infectious viruses, researchers typically measure the “50% tissue-culture infectious dose” (TCID₅₀). Measuring TCID₅₀ involves infecting replicate cultures of susceptible cells with dilutions of the virus and noting the dilution at which half the replicate dishes become infected. Viral counts reported by TCID₅₀ tend to be much lower than RT-qPCR measurements, which could be one reason why studies relying on RNA measurements ([Moriarty et al. 2020](#)) report the persistence of viral RNA on surfaces for much longer times than studies relying on TCID₅₀ ([van Doremalen et al. 2020](#)). It is important to keep this caveat in mind when interpreting data about viral loads, for example a report measuring viral RNA in patient stool samples for several days after recovery ([We et al. 2020](#)). Nevertheless, for many viruses even a small dose of virions can lead to infection. For the common cold, for example, ~0.1 TCID₅₀ are sufficient to infect half of the people exposed ([Couch et al. 1966](#)).

В чем разница между оценкой количества РНК вируса и инфекционных частиц?

Диагностика и количественная оценка вирусов осуществляется с помощью нескольких методик. Одним из распространенных подходов является определение количества вирусной РНК в природных образцах (например, на поверхности) или клинической пробе (например, мокроте) с помощью полимеразной цепной реакции (ПЦР) с обратной транскрипцией в режиме реального времени (RT-qPCR). Этот метод позволяет оценить количество копий вирусной РНК в образце. Присутствие вирусной РНК не обязательно

подразумевает присутствие инфекционных вирионов. Вирионы могут быть дефектными (например, вследствие произошедшей мутации) или могут быть инактивированы воздействием окружающей среды. Чтобы оценить концентрацию инфекционных вирусов, исследователи обычно измеряют «50% инфекционную дозу для тканевой культуры» (ТКИД₅₀). Измерение ТКИД₅₀ включает заражение растущей культуры чувствительных клеток разведением вируса и выявление разведения, при котором половина растущей культуры клеток становится инфицированной. Количество вирусов, определенное методом ТКИД₅₀, как правило, намного ниже, чем измерения, полученные с помощью RT-qPCR, что может быть одной из причин, почему исследования, основанные на измерениях количества РНК ([Moriarty et al. 2020](#)), сообщают о сохранении вирусной РНК на поверхностях гораздо дальше, чем исследования, проведенные по методике ТКИД₅₀ ([van Doremalen et al. 2020](#)). Это важно учитывать при интерпретации данных количественной оценки вирусов, например в недавнем исследовании, где проводилось измерение количества вирусной РНК в образцах стула пациента в течение нескольких дней после выздоровления ([We et al. 2020](#)). Однако не стоит забывать, что для многих вирусов даже небольшая доза жизнеспособных вирионов может привести к заражению. Например, для простуды ~0,1 ТКИД₅₀ достаточно, чтобы заразить половину людей, контактировавших с зараженным человеком ([Couch et al. 1966](#)).

What is the difference between the case fatality rate and the infection fatality rate?

Global statistics on new infections and fatalities are pouring in from many countries, providing somewhat different views on the severity and progression of the pandemic. Assessing the severity of the pandemic is critical for policy making and thus much effort has been put into quantification. The most common measure for the severity of a disease is the fatality rate. One commonly reported measure is the case fatality rate (CFR), which is the proportion of fatalities out of total diagnosed cases. The CFR reported in different countries varies significantly, from 0.3% to about 10%. Several key factors affect the CFR. First, demographic parameters and practices associated with increased or decreased risk differ greatly across societies. For example, the prevalence of smoking, the average age of the population, and the capacity of the healthcare system. Indeed, the majority of people dying from SARS-CoV-2 have a preexisting condition such as cardiovascular disease or smoking ([China CDC 2020](#)). There is also potential for bias in estimating the CFR. For example, a tendency to identify more severe cases (selection bias) will tend to overestimate the CFR. On the other hand, there is usually a delay between the onset of symptoms and death, which can lead to an underestimate of the CFR early in the progression of an epidemic. Even when correcting for these factors, the CFR does not give a complete picture as many cases with mild or no symptoms are not tested. Thus, the CFR will tend to overestimate the rate of fatalities per infected person, termed the infection fatality rate (IFR). Estimating the total number of infected people is usually accomplished by testing a random sample for anti-viral antibodies, whose presence indicates that the patient was previously infected. As of writing, such assays are not widely available, and so researchers resort to surrogate datasets generated by testing of foreign citizens returning home from infected countries ([Verity et al. 2020](#)), or epidemiological models estimating the number of undocumented cases ([Li et al. 2020](#)). These methods provide a first glimpse of the true severity of the disease.

В чем разница между коэффициентом летальности и коэффициентом смертности от инфекции?

Суммарные статистические данные о новых случаях заражения и смертельных исходах поступают из множества стран, и эти данные существенно разнятся в оценках тяжести и скорости протекания пандемии. Оценка степени тяжести пандемии имеет важное значение для принятия политических решений, поэтому на проведение количественного анализа затрачивается много усилий. Наиболее распространенным показателем тяжести заболевания является уровень смертности. Одним из наиболее часто сообщаемых показателей является коэффициент летальности (КЛ), который представляет собой долю смертельных исходов от общего числа диагностированных случаев. В разных странах оценки КЛ SARS-CoV-2 варьируют от 0,3% до 10%. Несколько ключевых факторов оказывают влияние на КЛ. Во-первых, демографические параметры и стиль жизни, которые могут повышать или снижать риск заражения, значительно варьируют в зависимости от региона. К таким параметрам относятся, например, распространенность курения, средний возраст населения и качество системы здравоохранения. Действительно, большинство людей, умирающих от SARS-CoV-2, имеют существовавшие ранее проблемы со здоровьем, такие как сердечно-сосудистые заболевания или курение ([China CDC 2020](#)). Существует также возможность необъективной оценки КЛ. Например, тенденция к выявлению более серьезных случаев (необъективность в отборе рассматриваемых случаев) будет приводить к завышению оценки КЛ. Или же наоборот, заниженная оценка КЛ в начале эпидемии может быть следствием естественного промежутка времени между появлением первых симптомов и смертью. Даже после корректировки этих факторов КЛ не дает стопроцентно правильной оценки, так как во многих случаях болезнь протекает легко или бессимптомно, и такие случаи не диагностируются и не попадают в статистику. Таким образом, КЛ будет склонен переоценивать долю смертельных случаев на общее число инфицированных людей, показатель, который получил название

коэффициент смертности от инфекции (КСИ). Оценка общего числа инфицированных людей обычно осуществляется путем тестирования случайной выборки людей на наличие в образцах крови антивирусных антител, присутствие которых указывает на то, что пациент был ранее инфицирован данным вирусом. На момент написания этой статьи такие анализы не были широко доступны, и поэтому такие оценки проводились либо на основании наборов данных, полученных в результате тестирования граждан, возвращающихся домой из стран с высоким процентом заражения ([Verity et al. 2020](#)), или эпидемиологических моделей, оценивающих количество незарегистрированных случаев ([Li et al. 2020](#)). Эти методы дают первое представление об истинной тяжести эпидемии.

What is the burst size and the replication time of the virus?

Two important characteristics of the viral life cycle are the time it takes them to produce new infectious progeny, and the number of progeny each infected cell produces. The yield of new virions per infected cell is more clearly defined in lytic viruses, such as those infecting bacteria (bacteriophages), as viruses replicate within the cell and subsequently lyse the cell to release a "burst" of progeny. This measure is usually termed "burst size." SARS-CoV-2 does not release its progeny by lysing the cell, but rather by continuous budding ([Park et al. 2020](#)). Even though there is no "burst", we can still estimate the average number of virions produced by a single infected cell. Measuring the time to complete a replication cycle or the burst size *in vivo* is very challenging, and thus researchers usually resort to measuring these values in tissue-culture. There are various ways to estimate these quantities, but a common and simple one is using "one-step" growth dynamics. The key principle of this method is to ensure that only a single replication cycle occurs. This is typically achieved by infecting the cells with a large number of virions, such that every cell gets infected, thus leaving no opportunity for secondary infections. Assuming entry of the virus to the cells is rapid (we estimate 10 minutes for SARS-CoV-2), the time it takes to produce progeny can be estimated by quantifying the lag between inoculation and the appearance of new intracellular virions, also known as the "eclipse period". This eclipse period does not account for the time it takes to release new virions from the cell. The time from cell entry until the appearance of the first extracellular viruses, known as the "latent period" (not to be confused with the epidemiological latent period, see [Glossary](#)), estimates the duration of the full replication cycle. The burst size can be estimated by waiting until virion production saturates, and then dividing the total virion yield by the number of cells infected. While both the time to complete a replication cycle and the burst size may vary significantly in an animal host due to factors including the type of cell infected or the action of the immune system, these numbers provide us with an approximate quantitative view of the viral life-cycle at the cellular level.

Что такое выход вируса и время репликации?

Двумя важными характеристиками жизненного цикла вируса являются время, которое требуется для выработки нового инфекционного потомства, и количество потомства, которое производит каждая инфицированная клетка. Выход новых вирионов из инфицированной клетки легче определить для лизитических вирусов, таких как бактериофаги (вирусы, заражающие бактерии), поскольку после репликации вирусы лизируют (разрушают) клетку, высвобождая множество вирусных частиц одновременно наподобие "взрыва". Термин, количественно описываемый это событие, звучит как "выход вируса". Зрелые вирусные частицы SARS-CoV-2 не лизируют клетку хозяина, но отделяются от клетки путем отпочковывания, при этом не разрушая ее ([Park et al. 2020](#)). Несмотря на отсутствие "взрыва", мы все же можем оценить среднее количество вирионов, продуцируемых одной зараженной клеткой. Измерение времени репликации или выхода вируса *in vivo* является очень сложной задачей, и поэтому исследователи обычно оценивают эти параметры в культуре ткани (*in vitro*). Существуют различные способы оценки этих величин, но наиболее распространенным и простым является использование кривой одноступенчатого цикла роста вируса. Ключевой принцип этого метода заключается в том, чтобы обеспечить протекание только одного цикла репликации вируса. Обычно это достигается путем заражения клеток культуры большим количеством вируса, так чтобы каждая клетка в популяции была инфицирована единовременно, не оставляя возможности для вторичной инфекции. При условии, что проникновение вируса в клетки происходит быстро (по нашим оценкам, это занимает 10 мин для SARS-CoV-2), время, необходимое для производства потомства, можно оценить путем количественного определения задержки между инокуляцией и появлением новых внутриклеточных вирионов, также известных как «эклипс-период». Этот эклипс-период не учитывает время, необходимое для выхода новых вирионов из клетки. Время от проникновения в клетку до появления первых внеклеточных вирусов, известное как «латентный период» (не следует путать с эпидемиологическим латентным периодом, см. [Словарь](#)), является мерой продолжительности полного цикла репликации. Выход вируса обычно оценивается по завершении продукции новых вирионов, а затем деления общего числа вышедших вирусов на количество инфицированных клеток. Принимая во внимание, что время завершения цикла репликации и выход вируса могут значительно варьироваться в организме животного-хозяина в зависимости от типа зараженной клетки или действий иммунной системы, нужно помнить, что эти цифры дают нам приблизительное количественное представление о жизненном цикле вируса на клеточном уровне.

References and excerpts

Note that for about 10 out of 45 parameters, the literature values are from other coronaviruses. We await corresponding measurements for SARS-CoV-2.

Ссылки и цитаты

Обратите внимание, что для приблизительно 10 из 45 количественных оценок приводятся данные, полученные ранее для других коронавирусов. Мы ожидаем появления соответствующих оценок для SARS-CoV-2.

Size & Content

Diameter: ([Zhu et al. 2020](#)) - "Electron micrographs of negative-stained 2019-nCoV particles were generally spherical with some pleomorphism ([Figure 3](#)). Diameter varied from about 60 to 140 nm."

Volume: Using diameter and assuming the virus is a sphere

Mass: Using the volume and a density of ~ 1 g per ml

Number of surface spikes trimers: ([Neuman et al. 2011](#)) - "Our model predicts ~90 spikes per particle."

Length of surface spikes trimers: ([Zhu et al. 2020](#)) - "Virus particles had quite distinctive spikes, about 9 to 12 nm, and gave viruses the appearance of a solar corona."

Receptor binding affinity (K_d): ([Walls et al. 2020](#)) - Walls et al. reports K_d of ≈ 1 nM for the binding domain in Table 1 using Biolayer interferometry with k_{on} of ≈ 1.5 × 10⁵ M⁻¹ s⁻¹ and k_{off} of ≈ 1.6 × 10⁻⁴ s⁻¹. ([Wrapp et al. 2020](#)) - Wrapp et al. reports K_d of ≈ 15 nM for the spike ([Fig.3](#)) and ≈ 35 nM for the binding domain ([Fig.4](#)) using surface plasmon resonance with k_{on} of ≈ 1.9 × 10⁵ M⁻¹ s⁻¹ and k_{off} of ≈ 2.8 × 10⁻³ s⁻¹ for the spike and k_{on} of ≈ 1.4 × 10⁵ M⁻¹ s⁻¹ and k_{off} of ≈ 4.7 × 10⁻³ s⁻¹ for the binding domain. The main disagreement between the studies seems to be on the k_{off} .

Membrane (M-222 aa): ([Neuman et al. 2011](#)) - "Using the M spacing data for each virus ([Fig.6C](#)), this would give ~1100 M2 molecules per average SARS-CoV, MHV and FCoV particle"

Envelope (F-75 aa): ([Godet et al. 1992](#)) - "Based on the estimated molar ratio and assuming that coronavirions bear 100 (Roseto et al., 1982) to 200 spikes, each composed of 3 S molecules (Delmas and Laude, 1990) it can be inferred that approximately 15-30 copies of ORF4 protein are incorporated into TGEV virions (Purdue strain)."

Nucleoprotein (364 aa): ([Neuman et al. 2011](#)) - "Estimated ratios of M to N protein in purified coronaviruses range from about 3M:1N ([Cavanagh 1983](#), [Escors et al. 2001b](#)) to 1M:1N ([Hogue and Brian 1986](#), [Liu and Inglis 1991](#)), giving 730–2200 N molecules per virion."

Genome

Type: ([ViralZone](#)) +ssRNA "Monopartite, linear ssRNA(+) genome"

Genome length: ([Wu et al. 2020](#)) - Figure 2

Number of genes: ([Wu et al. 2020](#)) - "SARS-CoV-2 genome has 10 open reading frames ([Fig.2A](#))." or ([Wu et al. 2020](#)) - "The 2019-nCoV genome was annotated to possess 14 ORFs encoding 27 proteins".

Number of proteins: ([Wu et al. 2020](#)) - "By aligning with the amino acid sequence of SARS PP1ab and analyzing the characteristics of restriction cleavage sites recognized by 3CLpro and PLpro, we speculated 14 specific proteolytic sites of 3CLpro and PLpro in SARS-CoV-2 PP1ab ([Fig.2B](#)). PLpro cleaves three sites at 181–182, 818–819, and 2763–2764 at the N-terminus and 3CLpro cuts at the other 11 sites at the C-terminus, and forming 15 non-structural proteins."

Evolution rate: ([Koyama et al. 2020](#)) - "Mutation rates estimated for SARS, MERS, and OC43 show a large range, covering a span of 0.27 to 2.38 substitutions × 10⁻³ / site / year (10-16)." Recent unpublished evidence also suggest this rate is of the same order of magnitude in SARS-CoV-2.

Mutation rate: ([Sanjuán et al. 2010](#)) - "Murine hepatitis virus ... Therefore, the corrected estimate of the mutation rate is $\mu_{site} = 1.9 \times 10^{-6} / 0.55 = 3.5 \times 10^{-6}$."

Genome similarity: For all species except pangolin: ([Wu et al. 2020](#)) - "After phylogenetic analysis and sequence alignment of 23 coronaviruses from various species. We found three coronaviruses from bat (96%, 88% and 88% for Bat-CoV RaTG13, bat-SL-CoVZXC12 and bat-SL-CoVZC45, respectively) have the highest genome sequence identity to SARS-CoV-2 ([Fig.1A](#)). Moreover, as shown in [Fig.1B](#), Bat-CoV RaTG13 exhibited the closest linkage with SARS-CoV-2. These phylogenetic evidences suggest that SARS-CoV-2 may be evolved from bat CoVs, especially RaTG13. Among all coronaviruses from human, SARS-CoV (80%) exhibited the highest genome sequence identity to SARS-CoV-2. And MERS/isolate NL13845 also has 50% identity with SARS-CoV-2." For pangolin: ([Zhang et al. 2020](#)) - Figure 3

Replication Timescales

Virion entry into cell: ([Schneider et al. 2012](#)) - "Previous experiments had revealed that virus is internalized within 15 min" and ([Ng et al. 2003](#)) - "Within the first 10 min, some virus particles were internalised into vacuoles (arrow) that were just below the plasma membrane surface ([Fig. 2, arrows](#)). ... The observation at 15 min postinfection (p.i.), did not differ much from 10 min p.i. ([Fig. 4a](#))"

Eclipse period: ([Schneider et al. 2012](#)) - "SARS-CoV replication cycle from adsorption to release of infectious progeny takes about 7 to 8 h (data not shown)." and ([Harcourt et al. 2020](#)) - Figure 4 shows virions are released after 12-36 hrs but because this is multi-step growth this represents an upper bound for the replication cycle.

Burst size: ([Hirano et al. 1976](#)) - "The average per-cell yield of active virus was estimated to be about 6–7 × 10² plaque-forming units." This data is for MHV, more research is needed to verify these values for SARS-CoV-2.

Host Cells

Type: ([Shieh et al. 2005](#)) - "Immunohistochemical and *in situ* hybridization assays demonstrated evidence of [SARS-associated coronavirus](#) (SARS-CoV) infection in various respiratory epithelial cells, predominantly type II pneumocytes, and in [alveolar macrophages](#) in the lung." and ([Walls et al. 2020](#)) - "SARS-CoV-2 uses ACE2 to enter target cells" and ([Rockx et al. 2020](#)) - "In

SARS-CoV-2-infected macaques, virus was excreted from nose and throat in absence of clinical signs, and detected in type I and II pneumocytes in foci of diffuse alveolar damage and mucous glands of the nasal cavity....In the upper respiratory tract, there was focal or locally extensive SARS-CoV-2 antigen expression in epithelial cells of mucous glands in the nasal cavity (septum or concha) of all four macaques, without any associated histological lesions (fig. 2)."

Type I and Type II pneumocyte and alveolar macrophage cell number: ([Crapo et al. 1982](#)) - Table 4 and ([Stone et al. 1992](#)) - Table 5

Epithelial cells in mucous gland cell number and volume: ([ICRP 1975](#)) - surface area of nasal cavity ([Tos & Mogensen 1976](#)) and ([Tos & Mogensen 1977](#)) - mucous gland density, ([Widdicombe 2019](#)) - mucous gland volume, ([Ordoñez et al. 2001](#)) and ([Mercer et al. 1994](#)) -

mucous cell volume. We divide the mucous gland volume by the mucous cell volume to arrive at the total number of mucous cells in a mucous gland. We multiply the surface density of mucous glands by the surface area of the nasal cavity to arrive at the total number of mucous glands, and then multiply the total number of mucous glands by the number of mucous cells per mucous gland.

Type II pneumocyte volume: ([Fehrenbach et al. 1995](#)) - "Morphometry revealed that although inter-individual variation due to some oedematous swelling was present, the cells were in a normal size range as indicated by an estimated mean volume of $763 \pm 64 \mu\text{m}^3$ "
Alveolar macrophage volume: ([Crapo et al. 1982](#)) - "Alveolar macrophages were found to be the largest cell in the populations studied, having a mean volume of $2,491 \mu\text{m}^3$ "

Concentration

Nasopharynx, Throat, Stool, and Sputum: ([Woelfel et al. 2020](#)) - Figure 2. and ([Kim et al. 2020](#)) - Figure 1 and ([Pan et al. 2020](#)) - Figure. We took the maximal viral load for each patient in nasopharyngeal swabs, throat swabs, stool or in sputum.

Antibody Response - Seroconversion

Seroconversion time (time period until a specific antibody becomes detectable in the blood): ([Zhao et al. 2020](#)) - "The seroconversion sequentially appeared for Ab, IgM and then IgG, with a median time of 11, 12 and 14 days, respectively" and ([To et al. 2020](#)) - "For 16 patients with serum samples available 14 days or longer after symptom onset, rates of seropositivity were 94% for anti-NP IgG (n=15), 88% for anti-NP IgM (n=14), 100% for anti-RBD IgG (n=16), and 94% for anti-RBD IgM (n=15)"

Maintenance of antibody response to virus: ([Wu et al. 2007](#)) - "Among 176 patients who had had severe acute respiratory syndrome (SARS), SARS-specific antibodies were maintained for an average of 2 years, and significant reduction of immunoglobulin G-positive percentage and titers occurred in the third year."

Virus Environmental Stability

Half life on surfaces: ([van Doremalen et al. 2020](#)) - For half-lives we use Supplementary Table 1. For time to decay from $\sim 10^4$ to $\sim 10 \text{ TCID}_{50}/\text{L}^{-1}$ air or mL^{-1} medium, we use the first time titer reached detection limit in Figure 1A for surfaces. For aerosols, we use ten half-life values (1000-fold decrease from 10^4 to 10, meaning 10 halvings of concentration) from Supplementary Table 1. More studies are urgently needed to clarify the implications of virion stability on the probability of infection from aerosols or surfaces.

RNA stability on surfaces: ([Moriarty et al. 2020](#)) - "SARS-CoV-2 RNA was identified on a variety of surfaces in cabins of both symptomatic and asymptomatic infected passengers up to 17 days after cabins were vacated on the Diamond Princess but before disinfection procedures had been conducted (Takuya Yamagishi, National Institute of Infectious Diseases, personal communication, 2020)."

"Characteristic" Infection Progression in a Single Patient

Basic reproductive number, R₀: ([Li et al. 2020](#)) - "Our median estimate of the effective reproductive number, R_e —equivalent to the basic reproductive number (R_0) at the beginning of the epidemic—is 2.38 (95% CI: 2.04–2.77)" and ([Park et al. 2020](#)) - "Our estimated R_0 from the pooled distribution has a median of 2.9 (95% CI: 2.1–4.5)."

Latent period (from infection to being able to transmit): ([Li et al. 2020](#)) - "In addition, the median estimates for the latent and infectious periods are approximately 3.69 and 3.48 days, respectively." and ([He et al. 2020](#)) - We use the time it takes the infectiousness to reach half its peak, which happens two days before symptom onset based on Figure 1b. As symptoms arise after 5 days (see incubation period), this means the latent period is about 3 days.

Incubation period (from infection to symptoms): ([Lauer et al. 2020](#)) - "The median incubation period was estimated to be 5.1 days (95% CI, 4.5 to 5.8 days), and 97.5% of those who develop symptoms will do so within 11.5 days (CI, 8.2 to 15.6 days) of infection. These estimates imply that, under conservative assumptions, 101 out of every 10 000 cases (99th percentile, 482) will develop symptoms after 14 days of active monitoring or quarantine." and ([Li et al. 2020](#)) - "The mean incubation period was 5.2 days (95% confidence interval [CI], 4.1 to 7.0), with the 95th percentile of the distribution at 12.5 days."

Infectious period (partially overlaps latent period): ([Li et al. 2020](#)) - "In addition, the median estimates for the latent and infectious periods are approximately 3.69 and 3.48 days, respectively." and Table 1 and ([He et al. 2020](#)) - We quantify the interval between half the maximal infectiousness from the infectiousness profile in Figure 1b.

Disease duration: ([WHO 2020](#)) - "Using available preliminary data, the median time from onset to clinical recovery for mild cases is approximately 2 weeks and is 3–6 weeks for patients with severe or critical disease"

Time until diagnosis: ([Xu et al. 2020](#)) - We used data on cases with known symptom onset and case confirmation dates and calculated the median time delay between these two dates.

Case Fatality Rate: ([ECDC geographic distribution of cases from 29/03/2020](#)) - We use data from all countries with more than 50 death cases and calculate the uncorrected raw Case Fatality Rate for each country. The range represents the lowest and highest rates observed.

Infected Fatality Rate: ([Verity et al. 2020](#)) - "We obtain an overall IFR estimate for China of 0.66% (0.39%, 1.33%)" and ([Ferguson et al. 2020](#)) - "The IFR estimates from Verity et al.12 have been adjusted to account for a non-uniform attack rate giving an overall IFR of 0.9% (95% credible interval 0.4%-1.4%)."

Acknowledgements

We thank Uri Alon, Niv Antonovsky, David Baltimore, Rachel Banks, Arren Bar Even, Naama Barkai, Molly Bassette, Menalu Berihoon, Biana Bernshein, Pamela Bjorkman, Cecilia Blikstad, Julia Borden, Bill Burkholder, Griffin Chure, Lillian Cohn, Bernadeta Dadonaite, Emmie De wit, Ron Diskin, Ana Duarte, Tal Einav, Avigdor Eldar, Elizabeth Fischer, William Gelbart, Alon Gildoni, Britt Glauisinger, Shmuel Gleizer, Dani Gluck, Soichi Hirokawa, Greg Huber, Christina Hueschen, Amit Huppert, Shalev Itzkovitz, Martin Jonikas, Leeat Keren, Gilmor Keshet, Marc Kirschner, Roy Kishony, Amy Kistler, Liad Levi, Sergei Maslov, Adi Millman, Amir Milo, Elad Noor, Gal Ofir, Alan Perelson, Steve Quake, Itai Raveh, Andrew Rennekamp, Tom Roeschinger, Daniel Rokhsar, Alex Rubinsteyn, Gabriel Salmon, Maya Schuliner, Eran Segal, Ron Sender, Alex Sigal, Maya Shamir, Arik Shams, Mike Springer, Adi Stern, Noam Stern-Ginossar, Lubert Stryer, Dan Tawfik, Boris Veysman, Aryeh Wides, Tali Wiesel, Anat Yarden, Yossi Yovel, Dudi Zeevi, Mushon Zer Aviv, and Alexander Zlokapa for productive feedback on this manuscript. Figure created using Biorender.